

## بهینه‌سازی چند هدفه پارامترهای ماشین کاری الکتروشیمیایی با استفاده از روش سطح پاسخ

علی مهرور<sup>۱</sup>, علی باستی<sup>۲\*</sup> و علی جمالی<sup>۲</sup>

<sup>۱</sup> عضو هیات علمی، گروه مهندسی مکانیک، دانشکده فنی، دانشگاه شهرضا

<sup>۲</sup> دانشیار، مهندسی مکانیک، دانشگاه گیلان، رشت

مقاله مستقل، تاریخ دریافت: ۱۳۹۵/۰۸/۰۳؛ تاریخ بازنگری: ۱۳۹۵/۱۱/۱۰؛ تاریخ پذیرش: ۱۳۹۶/۰۹/۰۸

### چکیده

در فرآیند ماشین کاری الکتروشیمیایی به سبب پدیده‌های فیزیکی و شیمیایی پیچیده‌ای که در حین فرآیند رخ می‌دهد، پیش‌بینی پارامترهای بهینه بسیار دشوار است. در این مقاله از روش سطح پاسخ به عنوان روش طراحی آزمایش‌ها و با توجه به رویکرد تابع مطلوبیت با استفاده از روش Derringer، راهکاری مناسب جهت بهینه‌سازی همزمان متغیرهای پاسخ ارائه شده است. از این رو چهار پارامتر ماشینکاری ولتاژ، پیشروی ابزار، جریان الکتروولیت و غلظت الکتروولیت، به عنوان متغیر طراحی و زبری سطح و نرخ براده‌برداری، به عنوان متغیر پاسخ در نظر گرفته شده است. از روش سطح پاسخ، جهت مدل‌سازی و تعیین مدل‌های حاکم بین متغیر پاسخ با پارامترهای ورودی استفاده شده است. دو متغیر پاسخ، رفتار عکس و متناظر دارند. در مرحله بعدی برای بهینه‌سازی چند هدفه، پارامترهای ورودی بهینه که به طور همزمان دو متغیر پاسخ را در حالت بهینه قرار دهد، برابر ولتاژ ۲۵/۵۶ ولت، پیشروی ابزار ۰/۵ میلی متر بر دقیقه، جریان الکتروولیت ۱۳۸/۱ لیتر بر دقیقه و غلظت الکتروولیت ۶/۴۵ گرم در لیتر تعیین شده است. خطای نسبی در اعتبارسنجی برای نرخ براده‌برداری و زبری سطح، ۶/۴ و ۶/۷ درصد بدست آمده که صحت و اطمینان روش اجرا شده را نشان می‌دهد.

**کلمات کلیدی:** ماشین کاری الکتروشیمیایی؛ بهینه‌سازی؛ سطح پاسخ؛ روش Derringer

## Multi-Objective Optimization of Electrochemical Machining Parameters Using Response Surface Methodology

A. Mehrvar<sup>1</sup>, A. Basti<sup>2,\*</sup>, Ali Jamali<sup>2</sup>

<sup>1</sup> Faculty member, Mech. Eng. group, Univ. of Shahrood, Isfahan, Iran.

<sup>2</sup> Assoc. Prof., Mech. Eng., Univ. of Guilan, Rasht, Iran.

### Abstract

Electrochemical machining (ECM) process involves several physical and chemical phenomena that make it difficult to model the process. Therefore, selection of proper and optimal parameters setting is a challenging issue. In this paper, an approach is applied to look for the optimum solution to this problem. In this way, four parameters, i.e. voltage, tool feed rate, electrolyte flow rate and electrolyte concentration; and two machining criteria, i.e. material removal rate (MRR) and surface roughness ( $R_a$ ) are considered as input variables and responses, respectively. Therefore, mathematical models have first been developed using response surface methodology (RSM). Then, the Derringer method has been utilized for optimizing the two responses simultaneously. MRR and  $R_a$  response would not be optimized in the same manner and have contradictory behaviors. The result of multi-objective optimization provides an optimal ECM process parameter setting, so the user can select desired optimal process parameters combination to achieve the optimal result. The optimal input parameters were determined as 25.56 V, 0.5 mm/min, 6.45 l/min, 138.1 g/l. Finally, optimization result was verified experimentally and the percentage error were 6.4 and 6.7 for MRR and  $R_a$  responses respectively.

**Keywords:** Electrochemical Machining; Optimization; Response Surface Methodology; Derringer Method.

**۱- مقدمه**

متغیرهای پاسخ پرداخته و شرایط بهینه تعیین نشده است. همچنین چبو و همکارانش [۷] در این مقاله، به بررسی ماشین‌کاری الکتروشیمیایی جهت ساخت در ابعاد میکرو پرداخته‌اند. ابتدا سیستمی طراحی و ساخته شده که توانایی انجام میکرو براده‌برداری الکتروشیمیایی را داشته باشد. در مرحله بعدی یک سری آزمایش‌هایی انجام شده است تا تاثیر پارامترهای اصلی فرآیند همچون، پارامترهای الکتریکی، پیشروی، الکتروولیت و پالس روشنایی روی دقت ابعادی و کیفیت سطح تعیین شود. در این مقاله نیز، به بررسی کیفی فرآیند پرداخته شده، راه حل و شرایط بهینه بدست نیامده است.

باهر و همکاران [۸]، به بررسی توانایی روش ماشین‌کاری الکتروشیمیایی در براده‌برداری چدن لاملار<sup>۱</sup> با استفاده از نیترات سدیم به عنوان الکتروولیت پرداخته‌اند. در این تحقیق، پارامترهای مختلف فرآیند از جمله ولتاژ، پالس روشنایی، فرکанс ارتعاش ابزار، پیشروی و فشار الکتروولیت روی نرخ براده‌برداری و کیفیت سطح به منظور تعیین پارامترهای بهینه مطالعه شده است. روش مورد استفاده جهت بررسی پارامترها، روش سطح پاسخ است. کلوک و همکارانش [۹]، در تحقیقی بر اساس آزمایش‌ها، به بررسی ماشین‌کاری الکتروشیمیایی آلیاژ‌های مدرن پایه نیکل و تیتانیوم پرداخته‌اند. به منظور افزایش بازده موتور جت از موادی که به سختی ماشینکاری می‌شوند مانند، آلیاژ‌های پایه نیکل و تیتانیوم برای ساخت پره و دیسک استفاده می‌شود که با استفاده از روش ماشین‌کاری الکتروشیمیایی، بیشترین نرخ براده‌برداری و بهترین کیفیت سطح ایجاد خواهد شد. در این مقاله، به تحقیقی پایه‌ای جهت بررسی توانایی روش ماشین‌کاری الکتروشیمیایی در ماشین‌کاری این دسته از آلیاژها پرداخته شده است.

سامانتا و چاکرابرتی [۱۰] در این تحقیق، نرخ براده‌برداری و دقت ابعادی را به عنوان عملکرد ماشین‌کاری در نظر گرفته، به کمک الگوریتم زنبور عسل به تعیین شرایط بهینه به صورت تک و چند هدفه پرداخته‌اند. از روش ضرایب وزنی بهینه‌سازی برای حالت چند هدفه، مورد بررسی قرار گرفته

از آنجایی که در فرآیند ماشین‌کاری الکتروشیمیایی پدیده‌های مختلف فیزیکی، شیمیایی و هیدرودینامیکی رخ می‌دهد و همچنین عوامل و پارامترهای متعددی در فرآیند دخیل است [۱،۲]. از این‌رو تعیین پارامترهای بهینه از گلوبگاه‌های اساسی در بکارگیری این روش است. از طرفی در مقاله موروی [۳]، به طور صریح بیان شده است که فعالیت‌های تحقیقاتی بیشتری برای بهینه‌سازی فرآیند ماشین‌کاری الکتروشیمیایی مورد نیاز است.

می‌توان به موارد زیر با توجه به فعالیت‌های صورت پذیرفته در زمینه بهینه‌سازی فرآیند ماشین‌کاری الکتروشیمیایی اشاره کرد. نتو و همکارانش [۴] در این مقاله، به بررسی تداخل پارامترها در فرآیند ماشین‌کاری الکتروشیمیایی پرداخته‌اند. نرخ براده‌برداری، کیفیت سطح و اضافه ماشین‌کاری به عنوان متغیر پاسخ، مورد مطالعه قرار گرفته است. چهار پارامتر ورودی پیشروی، جنس الکتروولیت، جریان الکتروولیت و ولتاژ در طول انجام آزمایش‌ها جهت تعیین متغیرهای پاسخ بهینه تغییر داده شده است. دو نوع الکتروولیت، یکی از جنس کلرید سدیم و دیگری نیترات سدیم مورد استفاده قرار گرفته است. نتایج این مقاله جمع‌بندی کلی و ارائه پارامترهای موثرتر است و بهینه‌سازی و تعیین دقیق و ارائه راه حل‌های مناسب جهت رسیدن به شرایط مطلوب در این مقاله، بررسی نشده است؛ همچنین موندا و همکارانش [۵] در این تحقیق، به کنترل و بررسی میکرو جرقه‌ها و جریان‌های سرگردان در میکرو ماشین‌کاری الکتروشیمیایی پرداخته‌اند. به کمک روش سطح پاسخ، بررسی تاثیر پارامترهای ماشینکاری روی دو فاکتور ذکر شده ارائه گردیده است. در این مقاله نیز، بهینه‌سازی به صورت تک هدفه است.

در تحقیق دیگری سنتیکومار و همکارانش [۶]، به بررسی تاثیر برخی پارامترهای موثر و اصلی در فرآیند ماشین‌کاری الکتروشیمیایی از جمله ولتاژ، غلظت الکتروولیت، جریان الکتروولیت و پیشروی ابزار روی نرخ براده‌برداری و کیفیت سطح در ماشین‌کاری الکتروشیمیایی پرداخته‌اند؛ همچنین از روش سطح پاسخ، جهت مدل‌سازی و تعیین اثر پارامترهای فرآیند استفاده شده است؛ در نتیجه این مقاله، تنها به مدل‌سازی و آنالیز رفتار پارامترهای ماشین‌کاری و

<sup>۱</sup> Lamellar Cast Iron

ساخت دستگاه ذکر شده، با در نظر گرفتن واحدهای اندازه-گیری و مانیتورینگ مناسب جهت انجام آزمایش‌ها و در نهایت کسب دانش فنی جهت برآورده‌برداری الکتروشیمیابی است. واحد ماشین این دستگاه شامل، بستر، پایه و قسمت در برگیرنده قطعه‌کار و ابزار است.

محفظه‌کاری شامل، فیکسچر مناسبی جهت قرارگیری قطعه‌کار و از جنس پلکسی‌گلاس است. ابعاد محفوظه‌کاری به صورت مکعبی با ضلع ۲۰ سانتی‌متر است؛ همچنین محلهایی جهت ورود و خروج الکتروولیت به محفظه‌کاری در نظر گرفته شده است. واحد کنترل دستگاه مدنظر، وظیفه کنترل دهانه ماشینکاری، کنترل نرخ پیشروی ابزار و کنترل پارامترهای الکتروولیت را بر عهده دارد. این واحد هماهنگ ۳۰ کننده قسمت‌های مختلف است. منبع تغذیه دستگاه، ۲۰ ولت و ۱۰۰ آمپر و کورس مفید حرکتی ابزار، ۲۰ سانتی‌متر است. واحد الکتروولیت مسئول ذخیره، تغذیه و تصفیه الکتروولیت را بر عهده دارد. این واحد از دو تانک به حجم ۵۰ لیتر و دو پمپ که یکی سبب تغذیه الکتروولیت به محفظه‌کاری می‌شود و دیگری وظیفه تخلیه از تانک دوم به اول و هدایت آن به فیلترها را دارد.



شکل ۱- دستگاه ماشینکاری الکتروشیمیابی

است. در این مقاله، هیچ‌گونه معیار و یا مقایسه‌ای برای تضمین نقاط سراسری بهینه بدست آمده ارائه نشده است. لندولت و همکارانش [۱۱]، در تحقیقی نقش حرکت سیال، توزیع جریان الکتریکی لایه منفعل<sup>۱</sup> بررسی و کیفیت سطح میکروب‌برداری الکتروشیمیابی را مورد مطالعه قرار داده، مثال‌های متنوعی را ارائه کرده‌اند. در این مقاله به هیچ وجه در این تحقیق اثر متقابل پارامترها بررسی نشده، تعیین شرایط بهینه انجام نپذیرفته است؛ همچنین با تاچاریا و موندا [۱۲] در تحقیقی به منظور درک بهتر، از فرآیند میکروماشین کاری الکتروشیمیابی برای دستیابی به نرخ برآورده‌برداری بالاتر انجام داده‌اند. آزمایش‌هایی روی پارامترهای اساسی فرآیند از جمله، ولتاژ ماشین کاری، غلظت الکتروولیت، پالس روشنایی و فرکانس پالس منبع تغذیه انجام گرفته است. تاثیر آن‌ها روی نرخ برآورده‌برداری و دقت تعیین شود. در واقع بهینه‌سازی و تعیین راه حل‌های دقیق، در این تحقیق انجام نگرفته است.

در این مقاله ابتدا با استفاده از روش طراحی آزمایش‌های مدل‌های ریاضی حاکم بر پارامترهای ورودی و متغیرهای پاسخ تعیین می‌شود. روش طراحی آزمایش‌های مورد استفاده، روش سطح پاسخ است. در این مرحله دو مدل ریاضی برای متغیرهای پاسخ بر اساس پارامترهای ورودی ماشین کاری ولتاژ، پیشروی ابزار، جریان الکتروولیت و غلظت الکتروولیت تعیین می‌شود. سپس بهینه‌سازی چند هدفه به کمک روش Derringer می‌گیرد که در نتیجه نقطه‌ای بهینه هم‌زمان تعیین می‌شود.

## ۲- جزئیات و شیوه اجرای آزمایش‌ها

### ۲-۱- دستگاه ماشینکاری الکتروشیمیابی و مواد

آزمایش‌ها توسط دستگاه ماشین کاری الکتروشیمیابی طراحی و ساخته شده، توسط نویسنده‌گان مقاله اجرا شده است. تصویر این دستگاه، در شکل ۱ نمایش داده شده است. این دستگاه شامل، چهار واحد مجزا است که با یکپارچکی خاصی در تعامل می‌باشند. این چهار قسمت عبارتند از: واحد ماشین، واحد منبع تغذیه، واحد الکتروولیت و واحد کنترل.

<sup>۱</sup> Passive Films

شده است که نیاز به تکرار آزمایش‌ها نمی‌باشد. هر فاکتور در پنج سطح، مورد ارزیابی قرار گرفته شده است. فاکتورهای ورودی (متغیر مستقل) عبارت است از: ولتاژ ماشین‌کاری ( $x_1$ )، پیشروی ابزار ( $x_2$ )، جریان (فلو) الکتروولیت ( $x_3$ )، غلظت الکتروولیت ( $x_4$ ) و متغیرهای پاسخ عبارت است از: نرخ براده‌برداری<sup>۳</sup>، زبری سطح<sup>۴</sup>. فاکتورهای ورودی و سطوح آن‌ها نیز، در جدول ۲ قرار داده شده است. به دلیل اینکه روش سطح پاسخ جهت بررسی آزمایش‌ها انتخاب شده است، روش طرح ترکیبی مرکزی<sup>۵</sup>، مورد استفاده قرار گرفته شده است.

این طرح آزمایش شامل،  $2^k$  آزمایش فاکتوریال،  $2k$  آزمایش محوری و تعدادی آزمایش مرکزی جهت تخمین خطای آزمایش است. تعداد کل آزمایش‌های برابر جمع این آزمایش‌ها بوده،  $k$  تعداد فاکتور مورد بررسی خواهد بود. در این تحقیق تعداد فاکتورهای ورودی (طراحی) چهار است، تعداد کل آزمایش‌ها، برابر ۳۱ آزمایش است. جهت اندازه‌گیری متغیر پاسخ نرخ براده‌برداری، وزن هر قطعه کار قبل و بعد از ماشین‌کاری توسط ترازوی دقیقی با دقت ۰/۰۰۰۱ گرم اندازه‌گیری شده که اختلاف جرم قبل و بعد از ماشین‌کاری به عنوان نرخ براده‌برداری در نظر گرفته شده است. زبری سطح نیز، به کمک دستگاه زبری سنج مدل SJ-210-MITUTOYO با دقت هزارم میکرون اندازه‌گیری شده که پارامترهای طول برش<sup>۶</sup> و سرعت اندازه‌گیری<sup>۷</sup> به ترتیب برابر، ۰/۸ میلی‌متر و ۰/۵ mm/s تنظیم شده است. شکل ۳ بیان‌گر قطعه کار قبل و بعد از چند آزمایش به صورت نمونه است؛ همچنین مقادیر مربوط به متغیرهای پاسخ برای ۳۱ آزمایش انجام شده، در جدول ۳ ارائه شده است.

### ۳- روش سطح پاسخ

روش سطح پاسخ، یکی از روش‌های قدرتمند در طراحی آزمایش‌ها است. این روش مجموعه تکنیک‌های ریاضی و

الکتروولیت مورد استفاده محلول نیترات سدیم با غلظت‌های مختلف است. در بیشتر تحقیقات، از الکتروولیت نیترات سدیم  $\text{NaNO}_3$  و یا کلرید سدیم  $\text{NaCl}$  استفاده شده است [۱۳]. بطور کلی الکتروولیت‌های مورد استفاده در ماشین‌کاری الکتروشیمیابی، به دو دسته فعال و غیر فعال تقسیم می‌شوند. الکتروولیت‌های غیر فعال، دارای یون اکسیدکننده (مانند نیترات سدیم) می‌باشند. این الکتروولیت‌ها به عنوان نسبت به الکتروولیت‌های فعال (مانند کلرید سدیم) ایجاد می‌کنند. از آنجایی که عملکرد ماشین‌کاری به عبارت دیگر، تابع‌های هدف در این مقاله، نرخ براده‌برداری و کیفیت سطح است و دقت ابعادی مورد بررسی نگرفته است، از محلول نیترات سدیم که دقت بهتری ایجاد می‌کند، استفاده شده است. جنس ابزار از مس است و قطر ابزار ۸ میلی‌متر بوده، نوک آن باید پولیش و سنگزنانه شود که هرگونه آثار تراشکاری بر طرف شود و سطحی صاف و صیقلی ایجاد شود. جنس قطعه کار استیل ۳۲۱<sup>۸</sup> است. ترکیب شیمیابی عنصر این فلز بر حسب درصد وزنی با توجه به آزمون کوانتمتری، در جدول ۱ ارائه شده است.

از گرد ۸ میلی‌متر این فلز به طول ۱۸ میلی‌متر برای هر قطعه کار جهت ساخت آن استفاده شده است؛ همچنین به منظور بر طرف شدن آثار ماشین‌کاری و برشکاری، انجام سنگزنانه و ایجاد سطحی صاف و صیقلی برای قطعه کار ضروری است. هر قطعه کار به کمک سه نظامی در محفظه کاری قرار گرفته، ارتباط به منبع تغذیه به کمک پیچ بوده است که جهت اجرای آن فیکسچری طراحی و ساخت شده است. شکل ۲ نشان‌دهنده این فیکسچر به همراه ابزار و قطعه کار در محفظه کاری است.

### ۲-۲- اجرای آزمایش‌ها و اندازه‌گیری

از نرم‌افزار مینیتوب<sup>۹</sup> جهت انجام طراحی آزمایش‌ها استفاده شده است. زمان کل هر آزمایش برای تمامی آزمایش‌ها، ۲ دقیقه در نظر گرفته شده است؛ همچنین تعداد هفت آزمایش مرکزی جهت تخمین خطای آزمایش انجام

<sup>3</sup> Material Removal Rate (MRR)

<sup>4</sup> Surface Roughness (Ra)

<sup>5</sup> Central Composite Second-Order Rotatable Design (CCD)

<sup>6</sup> Cut-Off Length

<sup>7</sup> Measuring Speed

<sup>1</sup> Stainless Steel 321  
<sup>2</sup> Minitab

جدول ۲- پارامترهای فرآیند و سطوح آن‌ها

سطوح							فاکتور
-۲	-۱	۰	۱	۲	واحد	نماد	
۱۰	۱۵	۲۰	۲۵	۳۰	V	x <sub>1</sub>	ولتاژ
.۰/۲	.۰/۳	.۰/۴	.۰/۵	.۰/۶	mm/min	x <sub>2</sub>	پیش روی
۵	۶	۷	۸	۹	L/mi n	x <sub>3</sub>	جريان الکترولیت
۵۰	۱۰۰	۱۵۰	۲۰۰	۲۵۰	g/L	x <sub>4</sub>	غلظت الکترولیت

آماری پرکاربرد، جهت مدلسازی و پیش‌بینی رفتار متغیر پاسخ است؛ همچنین به کمک این روش، مدل ریاضی حاکم بین متغیرهای ورودی و متغیر پاسخ را می‌توان تعیین کرد.



شکل ۲- محفظه ماشینکاری

جدول ۳- ماتریس نهایی طراحی آزمایش و مقادیر متغیر پاسخ

زبری سطح (µm)	نرخ براده برداری (g/min)	x <sub>4</sub>	x <sub>3</sub>	x <sub>2</sub>	x <sub>1</sub>	شماره آزمایش
.۰/۷۶	.۰/۱۲۵۳	-۱	-۱	-۱	-۱	.۱
.۱/۰۸	.۰/۲۱۳۴	-۱	-۱	-۱	۱	.۲
.۰/۸۹	.۰/۱۵۴۷	-۱	-۱	۱	-۱	.۳
.۱/۱۳	.۰/۲۳۶۱	-۱	-۱	۱	۱	.۴
.۰/۸۴	.۰/۱۲۴۶	-۱	۱	-۱	-۱	.۵
.۱/۱۶	.۰/۲۱۰۷	-۱	۱	-۱	۱	.۶
.۰/۹۶	.۰/۱۵۶۹	-۱	۱	۱	-۱	.۷
.۱/۳۱	.۰/۲۵۲۵	-۱	۱	۱	۱	.۸
.۱/۲۹	.۰/۱۸۷۳	۱	-۱	-۱	-۱	.۹
.۱/۹۴	.۰/۲۹۲۱	۱	-۱	-۱	۱	.۱۰
.۱/۶۳	.۰/۱۹۷۵	۱	-۱	۱	-۱	.۱۱
.۲/۲۱	.۰/۳۲۱۸	۱	-۱	۱	۱	.۱۲
.۱/۴۷	.۰/۱۷۷۹	۱	۱	-۱	-۱	.۱۳
.۲/۱۵	.۰/۲۹۷۹	۱	۱	-۱	۱	.۱۴
.۱/۷۸	.۰/۲۰۱۹	۱	۱	۱	-۱	.۱۵
.۲/۴۹	.۰/۳۲۳۵	۱	۱	۱	۱	.۱۶
.۱/۲۲	.۰/۱۱۵۴	.	.	.	-۲	.۱۷
.۲/۱۷	.۰/۳۳۷۹	.	.	.	۲	.۱۸
.۱/۱۲	.۰/۱۹۸۹	.	.	-۲	.	.۱۹
.۱/۵۱	.۰/۲۷۵۵	.	.	۲	.	.۲۰
.۱/۱۲	.۰/۱۹۲۷	.	-۲	.	.	.۲۱
.۱/۳۵	.۰/۲۱۹۴	.	۲	.	.	.۲۲
.۰/۷۲	.۰/۱۳۶۵	-۲	.	.	.	.۲۳
.۲/۴۵	.۰/۲۶۹۶	۲	.	.	.	.۲۴
.۱	.۰/۲۳۵۱	.	.	.	.	.۲۵
.۰/۹۸	.۰/۲۲۹۱	.	.	.	.	.۲۶
.۱/۰۲	.۰/۲۲۵۰	.	.	.	.	.۲۷
.۰/۹۶	.۰/۲۲۳۸	.	.	.	.	.۲۸
.۱/۰۴	.۰/۲۲۲۰	.	.	.	.	.۲۹
.۰/۹۵	.۰/۲۲۷۵	.	.	.	.	.۳۰
.۱/۰۲	.۰/۲۲۳۲	.	.	.	.	.۳۱

جدول ۱- ترکیبات شیمیایی قطعه کار بر حسب درصد وزنی

P	S	Si	Mn	C	Fe
.۰/۰۳۴	.۰/۰۱۴	.۰/۴۷۹	۱/۶۶	.۰/۰۴۵	به حد میزان
Ti	Co	Mo	Cu	Ni	Cr
.۰/۲۲۷	.۰/۱۶۹	.۰/۶۴	.۰/۵۹	.۸/۸۱	.۱۸/۰۵

هنگامی که متغیرهای مستقل قابل اندازه‌گیری بوده، از خطای نیز صرف نظر شود رابطه (۱) را داریم [۱۵، ۱۴]:

$$y = f(x_1, x_2, \dots, x_k) \quad (1)$$

که k تعداد متغیرهای مستقل (فاکتورها) است. جهت بدست آوردن رابطه بین متغیرهای مستقل و پاسخ‌ها بطور عمومی، از چند جمله‌ای درجه دو در روش سطح پاسخ جهت مدل‌سازی دقیق استفاده می‌شود:

$$y = \beta_0 + \sum_{i=1}^k \beta_i x_i + \sum \beta_{ii} x_i^2 + \sum_i \sum_j \beta_{ij} x_i x_j + \varepsilon \quad (2)$$

که  $\beta_0$  مقدار ثابت،  $\beta_i$  و  $\beta_{ij}$  به ترتیب، ضریب خطی، درجه دو و اثر تعامل فاکتورها می‌باشند که به کمک تکنیک حداقل مربعات بدست خواهد آمد [۱۷، ۱۶].

همچنین مقدار p-value مربوط به تست فقدان تناسب<sup>۱</sup>، بیشتر از ۰/۰۵ مطلوب است. با توجه به تحلیل واریانس student's t-test جهت تعیین مقدار p-value برای هر یک از ترم‌های این مدل (جدول ۵)، ترم‌های موثر و غیر موثر تشخیص داده می‌شود. با بررسی مقادیر p-value برای ترم‌های مختلف، نتیجه‌گیری می‌شود که تمامی ترم‌های خطی، ترم‌های درجه

### ۱-۳- مدل ریاضی نرخ براده‌برداری

همانطور که بیان شد، با استفاده از نرم‌افزار مینیتب، نتایج حاصل از تحلیل واریانس مربوط به نرخ براده‌برداری، در جدول ۴ ارائه گردیده است. با توجه به مقادیر تحلیل واریانس، مقدار p-value مربوط به مدل درجه دوم کسب شده، بهطور کاملاً محسوس کمتر از ۰/۰۵ است که نشان دهنده کفایت مدل در بازه اطمینان ۹۵ درصد است؛

جدول ۴- جدول تحلیل واریانس مربوط به نرخ براده‌برداری

منبع تغییرات	درجه آزادی	مجموع مربعات	میانگین مربعات	مقدار F	مقدار p
رگرسیون	۱۴	۰/۱۰۳۸۷۳	۰/۰۰۷۴۱۹	۲۱۹/۱۶	۰/۰۰۰
خطی	۴	۰/۱۰۰۴۷۸	۰/۰۲۵۱۲۰	۷۴۲/۰۰.	۰/۰۰۰
درجه دو	۴	۰/۰۰۲۱۴۸	۰/۰۰۰۵۳۷	۱۵/۸۵	۰/۰۰۰
اثر متقابل	۶	۰/۰۰۱۲۱۶	۰/۰۰۰۲۰۸	۶/۱۴	۰/۰۰۲
مانده	۱۶	۰/۰۰۰۵۴۲	۰/۰۰۰۰۳۴		
فقدان تناسب <sup>۱</sup>	۱۰	۰/۰۰۰۴۱۹	۰/۰۰۰۰۴۲	۲/۰۶	۰/۱۹۵
خطا خالص	۶	۰/۰۰۰۱۲۲	۰/۰۰۰۰۲۰		
کل	۳۰	۰/۱۰۴۴۱۴			

R-Sq = 99.48%, R-Sq(adj) = 99.03

جدول ۵- نتایج آزمون student's t-test برای نرخ براده‌برداری

All Term	Coefficient	SE coefficient	T value	P-value
$x_1$	-۰/۰۵۳۶۲۱	-۰/۰۱۱۸۸	-۴۵/۱۴۸	۰/۰۰۰
$x_2$	-۰/۰۱۶۲۰۴	-۰/۰۱۱۸۸	-۱۲/۶۴۴	۰/۰۰۰
$x_3$	-۰/۰۰۳۷۹۶	-۰/۰۱۱۸۸	-۳/۱۹۶	۰/۰۰۶
$x_4$	-۰/۰۳۲۱۶۳	-۰/۰۱۱۸۸	-۲۷/۰۸۰	۰/۰۰۰
$x_1 * x_1$	-۰/۰۰۰۳۶۲	-۰/۰۱۱۸۸	-۰/۰۳۳	۰/۷۴۳
$x_2 * x_2$	-۰/۰۰۲۲۷۵	-۰/۰۱۱۸۸	-۲/۰۹۱	۰/۰۵۳
$x_3 * x_3$	-۰/۰۰۰۵۵۱۲	-۰/۰۱۱۸۸	-۵/۰۶۶	۰/۰۰۰
$x_4 * x_4$	-۰/۰۰۰۶۲۶۲	-۰/۰۱۱۸۸	-۵/۰۷۵۵	۰/۰۰۰
$x_1 * x_2$	-۰/۰۰۰۲۴۴	-۰/۰۰۱۴۵۵	-۰/۱۶۸	۰/۸۶۹
$x_1 * x_3$	-۰/۰۰۰۲۹۴	-۰/۰۰۱۴۵۵	-۰/۲۰۲	۰/۸۴۳
$x_1 * x_4$	-۰/۰۰۰۸۷۱۹	-۰/۰۰۱۴۵۵	۵/۹۹۴	۰/۰۰۰
$x_2 * x_3$	-۰/۰۰۰۷۳۱	-۰/۰۰۱۴۵۵	-۰/۰۵۰۳	۰/۶۲۲
$x_2 * x_4$	-۰/۰۰۰۱۰۴۴	-۰/۰۰۱۴۵۵	-۰/۰۷۱۸	۰/۴۸۳
$x_3 * x_4$	-۰/۰۰۰۴۵۶	-۰/۰۰۱۴۵۵	-۰/۰۳۱۴	۰/۷۵۸

<sup>۱</sup> Lack-of-Fit

و  $x_1$ ،  $x_3$  و  $x_4$  و  $x_2$  و  $x_3$  و  $x_4$  موثر و بقیه ترم‌ها غیر موثر می‌باشند. با حذف ترم‌های غیر موثر، مدل کاهش یافته با توجه به ترم‌های موثر برای زبری سطح به صورت زیر بدست می‌آید:

$$\begin{aligned} Ra = & 8.61964 - 0.30371x_1 - 6.6753x_2 - 0.87792x_3 \\ & - 0.0234x_4 + 0.0069x_1^2 + 7.74256x_2^2 \\ & + 0.05743x_3^2 + 5.79702E - 05x_4^2 \\ & + 0.00338x_1x_3 + 0.00035x_1x_4 \\ & + 0.01013x_2x_4 + 0.00051x_3x_4 \end{aligned} \quad (4)$$

با توجه به نتایج بدست آمده از تحلیل واریانس، مقادیر  $R^2$  و  $R^2\text{adj}$  برای این مدل کاهش یافته به ترتیب برابر،  $99/80$  و  $99/67$  درصد است.

همچنین نمودار مربوط به بررسی مانده‌ها در شکل ۵، نشان‌دهنده کفايت و صحت مدل است.

#### ۴- بهینه‌سازی پارامترهای فرآيند

**۱- روش Derringer با رویکردتابع مطلوبیت** در رویکرد تابع مطلوبیت، هدف تعیین مقادیر متغیرهای ورودی به گونه‌ای است که به ازای آن‌ها اولاً همگی پاسخ‌ها، مطلوبیت بیشتر از صفر داشته باشند و دوم اینکه، مطلوبیت کلی بیشینه باشد. سویچ و درینگر [۱۸]، شکل مناسبی از توابع مطلوبیت را معرفی می‌کنند که در این روش به هر متغیر، پاسخ امتیازی می‌دهد و پارامترهای ورودی را به گونه‌ای تنظیم می‌کند که امتیاز کل را بیشینه نماید. برای تعریف رویکرد تابع مطلوبیت فرض می‌شود، هر کدام از  $n$  متغیر پاسخ به  $k$  متغیر مستقل (ورودی) از طریق رابطه (۵) وابسته باشند:

$$y_i = f(x_1, x_2, \dots, x_k) + \varepsilon \quad i = 1, 2, \dots, n \quad (5)$$

که  $y_i$  این متغير پاسخ،  $f$  رابطه بین این متغير پاسخ و متغیرهای ورودی (در اینجا پارامترهای ماشین کاری الکتروشیمیایی) و  $\varepsilon$  خطرا نشان می‌دهند. در تابع مطلوبیت  $f$ ، مقداری بین  $0$  و  $1$  به هر متغير پاسخ  $y_i$  نسبت داده می‌شود که نشان‌دهنده آنست که متغير پاسخ در حد نهایت مطلوبیت (هدف) و  $0$ ، نشان‌دهنده بدترین حالت مطلوبیت برای متغير پاسخ است. مقدار  $d_i$  با بهبود پاسخ مربوطه افزایش می‌یابد. بسته به این که هدف بیشینه نمودن، کمینه نمودن و یا رسیدن به یک مقدار مشخص باشد، توابع

دوم متغیرهای ورودی  $x_2$  و  $x_3$  و تعامل بین متغیر  $x_1$  و  $x_4$  موثر می‌باشند و دیگر ترم‌ها غیر موثر می‌باشند. با حذف ترم‌های غیر موثر و اجرای دوباره تحلیل واریانس، مدل کاهش یافته بدست آمده برای نرخ براده‌برداری برحسب ترم‌های موثر به صورت زیر تعیین می‌شود:

$$\begin{aligned} MRR = & -0.35879 + 0.00549x_1 - 0.02305x_2 \\ & + 0.08043x_3 + 0.00069x_4 + 0.23137x_2^2 \\ & - 0.00547x_3^2 - 2.48952E - 06x_4^2 \\ & + 3.48750E - 05x_1x_4 \end{aligned} \quad (3)$$

مقادیر ضرایب همبستگی  $R^2$  و  $R^2\text{adj}$  برای مدل کاهش یافته نرخ براده‌برداری به ترتیب برابر،  $99/45$  و  $99/25$  درصد است.

تحلیل مانده<sup>۱</sup> نیز برای بررسی مدل بدست آمده، انجام گردیده است. شکل ۴ نشان‌دهنده توزیع احتمال نرمال باقی‌مانده‌ها<sup>۲</sup> است. همانگونه که مشخص است، داده‌ها آزمایش تقریباً در راستای یک خط قرار گرفته است که نشان‌دهنده کفايت مدل است و مقادیر آزمایش‌ها و مقادیر تخمین‌زده شده برای متغير، پاسخ همبستگی نزدیکی بهم دارند.

با توجه به بررسی‌های بالا، نشان داده می‌شود که مدل بدست آمده برای نرخ براده‌برداری، هیچگونه بی‌کفايتی را نشان نمی‌دهد.

#### ۳-۲- مدل ریاضی زبری سطح

همانند قسمت قبل، نتایج تحلیل واریانس برای زبری سطح، در جدول ۵ ارائه شده است. مقدار  $p\text{-value}$  مربوط به مدل درجه دوم کسب شده، بهطور کامل محسوس کمتر از  $0/05$  است که نشان‌دهنده کفايت مدل در بازه اطمینان  $95$ ٪ است؛ همچنین مقدار  $p\text{-value}$  مربوط به تست فقدان تناسب، بیشتر از  $0/05$  می‌باشد که مطلوب است.

برای تعیین ترم‌های موثر مدل زبری سطح نیز، آزمون student's t-test انجام شده است (نتایج در جدول ۷). با توجه به مقدار  $p\text{-value}$  برای ترم‌های مختلف، نتیجه‌گیری می‌شود که تمامی ترم‌های خطی و درجه دوم و تعامل بین ترم  $x_1$  و

<sup>1</sup> Residual

<sup>2</sup> Normal Probability Plot of Residuals

$$\text{مطلوبیت مختلفی را می‌توان تعریف کرد. برای حالتی که هدف کمینه کردن باشد} \quad [۱۷] \\ d_i = \begin{cases} 1 & \text{if } y_i < T_i \\ \left(\frac{y_i - U_i}{T_i - U_i}\right)^r & \text{if } T_i < y_i < U_i \\ 0 & \text{if } y_i > U_i \end{cases} \quad (۷) \\ \text{هدف بیشینه کردن باشد} \quad [۱۸] \\ d_i = \begin{cases} 0 & \text{if } y_i < L_i \\ \left(\frac{U_i - y_i}{U_i - T_i}\right)^r & \text{if } L_i < y_i < T_i \\ 1 & \text{if } y_i > T_i \end{cases} \quad (۸)$$

جدول ۶- جدول تحلیل واریانس مربوط به نرخ براده‌برداری

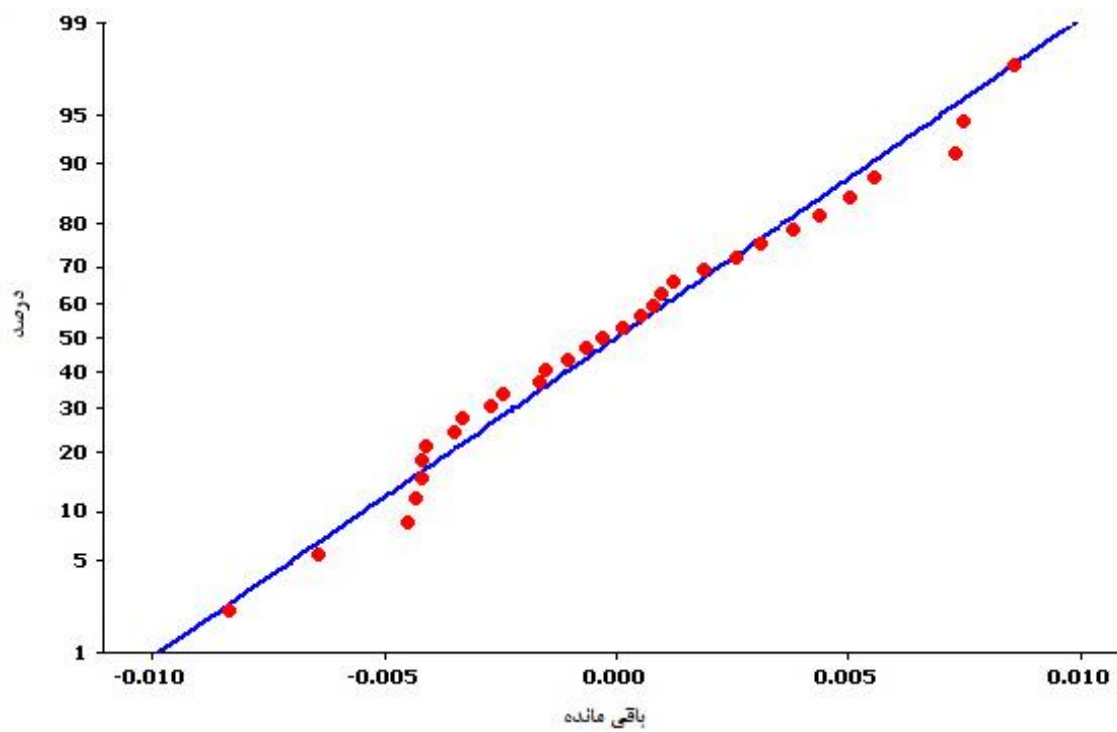
p مقدار	F مقدار	میانگین مربعات	مجموع مربعات	درجه آزادی	منبع تغییرات
۰.۰۰۰	۶۴۸/۰۷	۰/۵۵۲۷۴	۷/۷۳۸۳۱	۱۴	رگرسیون
۰.۰۰۰	۱۸۰۷/۵۹	۱/۵۴۱۷۰	۶/۱۶۶۷۸	۴	خطی
۰.۰۰۰	۴۰۸/۳۵	۰/۳۴۸۲۸	۱/۳۹۳۱۴	۴	درجه دو
۰.۰۰۰	۳۴/۸۶	۰/۰۲۹۷۳	۰/۱۷۸۳۹	۶	اثر متقابل
		۰/۰۰۰۸۵	۰/۰۱۳۶۵	۱۶	مانده
۰/۷۸۷	۰/۶۱	۰/۰۰۰۶۹	۰/۰۰۶۸۸	۱۰	فقدان تناسب <sup>۱</sup>
		۰/۰۰۱۱۳	۰/۰۰۶۷۷	۶	خطا خالص
			۷/۷۵۱۹۵	۳۰	کل

R-Sq = 99.82%, R-Sq(adj) = 99.67

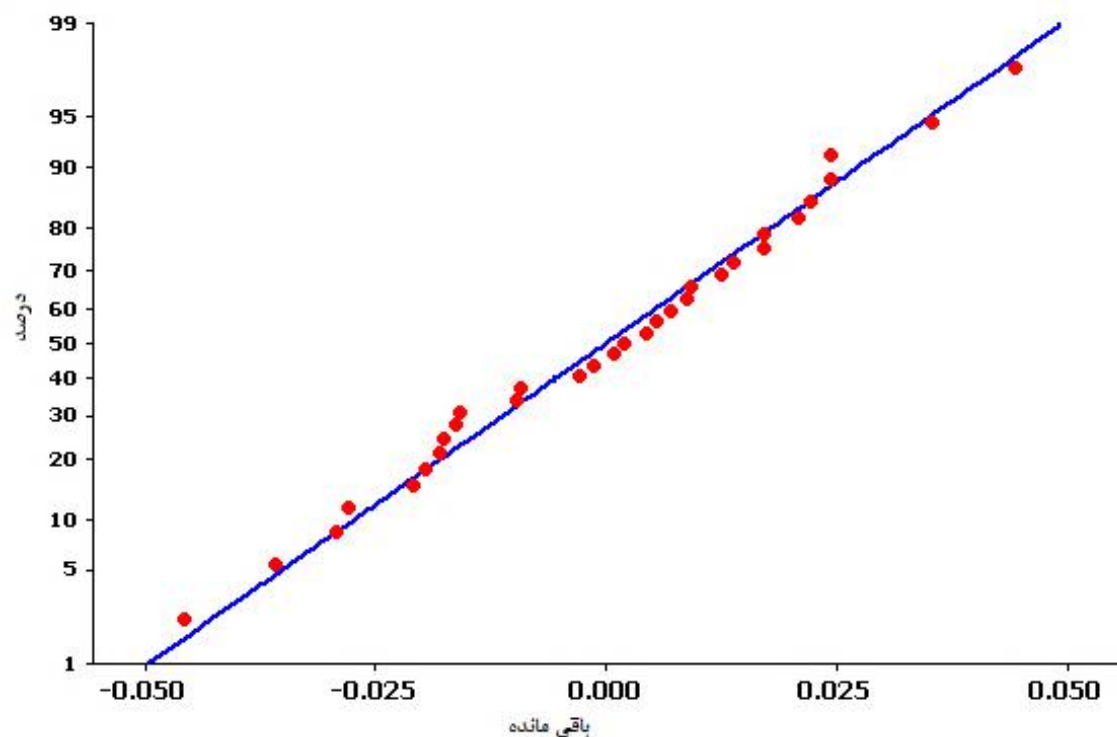
جدول ۷- نتایج آزمون student's t-test برای زبری سطح

All Term	Coefficient	SE coefficient	T value	P-value
$x_1$	۰/۲۳۹۵۸۳	۰/۰۰۵۹۶۱	۴۰/۱۹۰	۰/۰۰۰
$x_2$	۰/۱۰۳۷۵۰	۰/۰۰۵۹۶۱	۱۷/۴۰۴	۰/۰۰۰
$x_3$	۰/۰۷۰۴۱۷	۰/۰۰۵۹۶۱	۱۱/۸۱۲	۰/۰۰۰
$x_4$	۰/۴۲۸۷۵۰	۰/۰۰۵۹۶۱	۷۱/۹۲۲	۰/۰۰۰
$x_1 * x_1$	۰/۱۷۲۴۲۶	۰/۰۰۵۴۶۱	۳۱/۵۷۲	۰/۰۰۰
$x_2 * x_2$	۰/۰۷۷۴۲۶	۰/۰۰۵۴۶۱	۱۴/۱۷۷	۰/۰۰۰
$x_3 * x_3$	۰/۰۵۷۴۲۶	۰/۰۰۵۴۶۱	۱۰/۵۱۵	۰/۰۰۰
$x_4 * x_4$	۰/۱۴۴۹۲۶	۰/۰۰۵۴۶۱	۲۶/۵۳۷	۰/۰۰۰
$x_1 * x_2$	-۰/۰۰۵۶۲۵	۰/۰۰۷۳۰۱	-۰/۷۷۰	۰/۴۵۲
$x_1 * x_3$	۰/۰۱۶۸۷۵	۰/۰۰۷۳۰۱	۲/۳۱۱	۰/۰۳۴
$x_1 * x_4$	۰/۰۸۶۸۷۵	۰/۰۰۷۳۰۱	۱۱/۸۹۹	۰/۰۰۰
$x_2 * x_3$	۰/۰۰۸۱۲۵	۰/۰۰۷۳۰۱	۱/۱۱۳	۰/۲۸۲
$x_2 * x_4$	۰/۰۵۰۶۲۵	۰/۰۰۷۳۰۱	۶/۹۳۴	۰/۰۰۰
$x_3 * x_4$	۰/۰۲۵۶۲۵	۰/۰۰۷۳۰۱	۳/۵۱۰	۰/۰۰۳

<sup>۱</sup> Lack-of-Fit



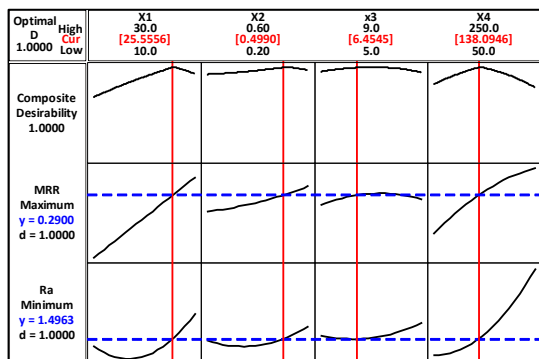
شکل ۴- نمودار توزیع احتمال نرمال باقیمانده‌ها برای نرخ براude برداری



شکل ۵- نمودار توزیع احتمال نرمال باقیمانده‌ها برای زبری سطح

همچنین با افزایش پیشروی ابزار، فاصله دهانه ماشین کاری کاهش یافته، سبب افزایش جریان الکتریکی در دهانه ماشین کاری می‌شود که سبب افزایش نرخ براده‌برداری می‌شود. به علاوه برای دستیابی به شستشوی مناسب در دهانه ماشین کاری، حالت بهینه برای جریان الکتروولیت در سطح میانی برای هر دو متغیر پاسخ نرخ براده‌برداری و زبری سطح رخ می‌دهد؛ در حالی که سطوح میانی ولتاژ، پیشروی ابزار و غلظت الکتروولیت، سبب انحلال محلی بیشتر در سطح قطعه کار شده و ارتفاع قله‌ها و دره‌ها را در سطح قطعه کار کاهش داده، سبب کاهش زبری سطح ( $R_a$ ) خواهد شد. در شکل ۶ خط عمودی قرمز رنگ در هر سلوی، نشان‌دهنده مقدار پارامتر رودی بهینه و خط‌چین افقی آبی رنگ مقدار متغیر پاسخ بهینه را نشان می‌دهد. نتیجه می‌شود که شرایط بهینه همزمان در ولتاژ ۲۵/۵۶ V، پیشروی ابزار ۰/۵ mm/min و جریان الکتروولیت ۱۳۸/۱ g/l و غلظت الکتروولیت ۴۵ l/min می‌شود.

برای اعتبارسنجی نتایج حاصل از بهینه‌سازی، برای شرایط بهینه بدست آمده، آزمایشی انجام شده است. درصد خطای نسبی بدست آمده در مقایسه بین مقادیر تخمین‌زده شده و واقعی متغیرهای پاسخ نرخ براده‌برداری و زبری سطح به ترتیب، ۶/۴ و ۶/۷ است که در جدول ۸ ارائه شده است.



شکل ۶- شرایط بهینه همزمان دو متغیر پاسخ

جدول ۸- نتایج آزمایش اعتبارسنجی برای شرایط بهینه

	نرخ براده برداری		
	زبری سطح	آزمایش	پیش‌بینی شده
آزمایش	۰/۴۹۶	۰/۶۰۴	۰/۲۹
نرسی (%)	۶/۷	۶/۴	۰/۳۱

$y_i$  و  $U_i$  به ترتیب حدود پایین و بالا و  $T_i$  مقدار پاسخ  $i$  می‌باشند که  $U_i \leq T_i \leq L_i$  و ضریب  $r$  توسط کاربر تعیین می‌شوند و رفتارتابع مطلوبیت را تعیین می‌کنند. چنانچه  $r=1$  باشد، آنگاه تابع مطلوبیت به صورت خطی افزایش می‌یابد. برای  $r < 1$  تابع مطلوبیت محدب و برای  $r > 1$  مقرر خواهد بود [۱۹]. پس از آنکه مقادیر مطلوبیت برای هر متغیر پاسخ محاسبه شد، آنها با محاسبه میانگین هندسی‌شان، به شکل تابع مطلوبیت واحد (نهایی) ترکیب می‌شوند که این تابع مطلوبیت نهایی، به صورت رابطه (۸) محاسبه می‌شود [۲۰]:

$$D = (d_1 d_2 \dots d_n)^{1/n} = \left[ \prod_{i=1}^n (d_i) \right]^{\frac{1}{n}} \quad (8)$$

که  $D$  تابع مطلوبیت نهایی<sup>۱</sup>،  $d$  تابع مطلوبیت انفرادی هر متغیر پاسخ و  $n$  تعداد متغیر پاسخ می‌باشد [۲۰].

هدف از بهینه‌سازی در فرآیند ماشین کاری الکتروشیمیابی، بیشینه نمودن نرخ براده‌برداری و کمینه نمودن زبری سطح است. به کمک روش Derringer پارامترهای بهینه ماشین کاری برای بهینه‌سازی همزمان دو متغیر پاسخ تعیین می‌شود. نتیجه با استفاده از نرم افزار مینیتوب بدست آمده است که در شکل ۶ نمایش داده شده است. در این شکل اولین ردیف بیانگر، پارامترهای ماشینکاری، بازه تغییرات آنها و مقدار بهینه پارامتر که بین حد بالا و پایین آن متغیر قرار گرفته است؛ همچنین ستون اول نشان‌دهنده، مقدار تابع هدف کلی، تابع هدف هر یک از متغیرهای پاسخ و مقدار بهینه متغیر پاسخ است. علاوه بر این، هر یک از سلوی‌های داخل شکل، توصیف کننده نحوه تغییرات متغیر پاسخ با توجه به تغییر یک پارامتر است؛ در حالی که دیگر پارامترها ثابت باشند. این قسمت از شکل نشان می‌دهد که با افزایش ولتاژ، پیشروی ابزار و غلظت الکتروولیت نرخ براده‌برداری افزایش می‌یابد. علت این افزایش این است که با افزایش ولتاژ و غلظت الکتروولیت دانسیته جریان الکتریکی افزایش و به سبب آن نرخ براده‌برداری افزایش می‌یابد.

<sup>1</sup> Overall (Composite) Desirability  
<sup>2</sup> Individual Desirability Function

پیش روی ابزار (mm/min)	$x_2$
جریان الکترولیت (l/min)	$x_3$
غلطت الکترولیت (g/l)	$x_4$
مقدار ثابت	$\beta_0$
ضریب خطی	$\beta_i$
ضریب درجه دو	$\beta_j$
ضریب اثر تعامل	$\beta_{ij}$
خطا	$\epsilon$
ضریب انتخابی توسط کاربر	$r$
تعداد متغیر مستقل	$k$

## ۷- مراجع

- [1] Rumenantsev E, Davydov A (1989) Electrochemical machining of metals. MIR Publishers, Moscow.
- [2] Hinduja S, Kunieda M (2013) Modelling of ECM and EDM processes. CIRP Ann: Manuf Techn 62: 775–797.
- [3] VenkataRao R, Kalyankar VD (2014) Optimization of modern machining processes using advanced optimization techniques: a review. Int J Adv Manuf Technol 73: 1159–1188.
- [4] Neto JCS, Silva EM, Silva MB (2006) Intervening variables in electrochemical machining. J Mater Process Technol 179: 92–96.
- [5] Munda J, Malapati M, Bhattacharyya B (2007) Control of micro-spark and stray-current effect during EMM process. J Mater Process Technol 194: 151–158.
- [6] Senthilkumar C, Ganesan G, Karthikeyan R (2011) Parametric optimization of electrochemical machining of Al/15% SiCp composites using NSGA-II. Trans Nonferrous Met Soc China 21: 2293–2300.
- [7] Chiou YC, Lee RT, Chen TJ, Chiou JM (2012) Fabrication of high aspect ratio micro-rod using a novel electrochemical micro-machining method. Precision Eng 36: 193–202.
- [8] Bähre D, Weber O, Rebschläger A (2013) Investigation on pulse electrochemical machining characteristics of lamellar cast iron using a response surface methodology-based approach. Procedia CIRP 6: 362 – 367.
- [9] Klocke F, Zeis M, Klink A, Veselova D (2013) Experimental research on the electrochemical machining of modern titanium- and nickel-based alloys for aero engine components. Procedia CIRP 6: 368–374.
- [10] Samanta S, Chakraborty S (2011) Parametric optimization of some non-traditional machining

## ۸- نتیجه گیری

در این مقاله به ارائه شیوه‌ای مناسب و مطمئن جهت بهینه‌سازی همزمان متغیرهای پاسخ نرخ براده‌برداری و زبری سطح جهت تعیین پارامترهای بهینه فرآیند ماشین‌کاری الکتروشیمیایی به کمک روش Derringer پرداخته شده است. از آنجایی که تعیین پارامترها و شرایط مناسب این فرآیند از جمله گلوگاه‌ها اساسی است، نتایج اصلی در زیر ارائه گردیده است:

۱. روش پیشنهادی عملکرد مناسب و مطمئنی در تعیین پارامترهای بهینه به صورت چند هدفه دارد؛ بطوریکه خطای نسبی برای متغیرهای پاسخ نرخ براده‌برداری و زبری سطح به ترتیب،  $6/4$  و  $6/7$  درصد است که بیانگر صحت و عملکرد مناسب این روش است.
۲. افزایش ولتاژ، پیش روی ابزار و غلطت الکترولیت، سبب افزایش در نرخ براده‌برداری می‌شود؛ همچنین شستشوی مناسب الکترولیت در دهانه ماشین‌کاری که به کمک جریان الکترولیت صورت می‌گیرد، بیشترین نرخ براده‌برداری را ایجاد می‌کند که شرایط بهینه در سطوح میانی این پارامتر قرار دارد.
۳. پایین تراز سطوح میانی برای ولتاژ، پیش روی ابزار و غلطت الکترولیت، سبب کاهش زبری سطح می‌شود. همچنین شستشوی مناسب که به کمک تنظیم جریان الکترولیت، سبب بهبود کیفیت سطح می‌شود.

## ۹- عالیم، نشانه‌ها و ارقام

مطلوبیت انفرادی	$d_i$
مطلوبیت نهایی	D
حد پایین	$L_i$
نرخ براده‌برداری (g/min)	MRR
زبری سطح ( $\mu m$ )	Ra
مقدار متغیر پاسخ	$T_i$
حد بالا	$U_i$
متغیر مستقل (پارامترهای ورودی)	$x_i$
ولتاژ (V)	$x_1$

- Aluminum Matrix Composite (A413-B4C): A Response Surface Approach. Mater Manuf Processes 28(12): 1340-1347.
- [16] Montgomery DC (2009) Design and analysis of experiments. John Wiley, New York.
- [17] MyersRH, Montgomery DC (1995) Response surface methodology: process and product optimization using designed experiments. Wiley, New York.
- [18] Derringer G, Suich R (1980) Simultaneous Optimization of Several Response Variables. J Quality Tech 12(4): 214-219.
- [19] Castillo ED, Montgomery DC, Mc Carville DR (1996) Modified desirability functions for multiple response optimization. J Quality Tech 28(3): 337-345.
- [20] AssarzadehS, Ghoreishi M (2013) A dual response surface-desirability approach to process modeling and optimization of  $\text{Al}_2\text{O}_3$  powder-mixed electrical discharge machining (PMEDM) parameters. Int J Adv Manuf Technol 64: 1459-1477.
- processes using artificial bee colony algorithm. Eng Appl Artif Intell 24: 946-957.
- [11] Landolt D, Chauvy PF, Zinger O (2003) Electrochemical micromachining, polishing and surface structuring of metals: fundamental aspects and new developments. Electrochimica Acta 48: 3185-3201.
- [12] Bhattacharyya B, Munda J (2003) Experimental investigation on the influence of electrochemical machining parameters on machining rate and accuracy in micromachining domain. Int J Adv Manuf Technol 43: 1301-1310.
- [13] Yusup N, Zain AM and Hashim SZM. Evolutionary techniques in optimizing machining parameters: Review and recent applications (2007-2011). Expert Syst Appl 2012; 39: 9909-9927.
- [14] Moradi M, Ghoreishi M, Frostevarg J, Kaplan AFH (2013) An investigation on stability of laser hybrid arc welding. Optics and Lasers in Eng 5: 481-487.
- [15] Sivaprakasam P, Hariharan P, Gowri S (2013) Optimization of Micro-WEDM Process of